

# Towards an end-stopped theory of low level vision

Nos 60 anos de Luiz Velho

Cicero Mota

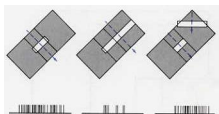
`mota@ufam.edu.br`

Dep. Matemática, UFAM

1.º de fevereiro de 2017

## Células no Córtex Visual Primário

Simplex, complexas e hypercomplexas (**end-stopped**)



(Nobel Prize em Medicina de 1981: D. H. Hubel e T. N. Wiesel "for their discoveries concerning information processing in the visual system". )

## Modelagem Ens-stopped

Objetivo: encontrar um operador  $B$  entre imagens com a propriedade

$$f(\mathbf{x}) = f_0(\mathbf{d} \cdot \mathbf{x}), x \in \Omega \implies Bf|_{\Omega} = 0$$

Resposta nula para imagens 1D.

Modelagem linear não é apropriada:

$$f(\mathbf{x}) = \sum_k F_k e^{k \cdot \mathbf{x}} \implies Bf \equiv 0.$$

## Modelos propostos (Zetsche e Barth)

$\mathbf{A}$  indica o operador de Gauss-Weingarten de  $S = \{(\mathbf{x}, f(\mathbf{x}))\}$   
 $\mathbf{H}$  o hessiano de  $f$ .

$$f \in 1D \implies k = \det \mathbf{A} \equiv 0.$$

- ▶  $k = \frac{\det \mathbf{H}}{(1+(\nabla f)^2)^{3/2}}$  não é homogêneo
- ▶  $d = \det \mathbf{H}$  ( injetividade relacionada a Monge-Ampere)
- ▶  $d_{\min} = \min\{d_1, d_2\} =$  menor autovalor de  $\mathbf{H}$
- ▶ Clipped eigenvalues

$$c = \begin{cases} d_{\min} & \text{se } d > 0 \\ 0 & \text{c. c.} \end{cases}$$

Todos gozam da propriedade

$$f \mapsto F((\nabla f)^2, \Delta f, \det \mathbf{H}).$$

# Outros modelos

$$\boxed{f(\mathbf{x}) = f_0(\mathbf{d} \cdot \mathbf{x}) \implies \mathbf{HJ}\nabla f = 0} \quad (\mathbf{H} \text{ tem um } 0\text{-autovetor!})$$

## Modelos imediatos:

$$Hf = \det \mathbf{H}$$

$$Sf = \langle \mathbf{HJ}\nabla f, \nabla f \rangle$$

$$Tf = \langle \mathbf{HJ}\nabla f, \mathbf{J}\nabla f \rangle.$$

São todos?

## Em coordenadas

$$H = rt - s^2$$

$$S = pq(t - r) + s(p^2 - q^2)$$

$$T = q^2r - 2pqs + p^2t$$

Variáveis  $p, q, r, s, t$  com valores

$$p = \frac{\partial f}{\partial x}, \quad q = \frac{\partial f}{\partial y}, \quad r = \frac{\partial^2 f}{\partial x^2}, \quad \dots$$

Existe um polinômio  $I$  :

$$\boxed{Bf(x, y) = I(x, y, f, p, q, r, s, t)}, \quad B \in \{H, S, T\}.$$

## Invariantes diferenciais de segunda ordem de $SO(2)$

A função  $I : \mathbb{R}^8 \rightarrow \mathbb{R}$  é especial.

$$I(\tilde{x}, \tilde{y}, \tilde{u}, \tilde{p}, \tilde{q}, \tilde{r}, \tilde{s}, \tilde{t}) = I(x, y, u, p, q, r, s, t).$$

Sempre que  $\mathbf{R} : \mathbb{R}^2 \rightarrow \mathbb{R}^2$  é uma rotação,

$$\begin{aligned}(\tilde{x}, \tilde{y})^T &= \mathbf{R} (x, y)^T, \\ \tilde{u} &= u, \\ (\tilde{p}, \tilde{q})^T &= \mathbf{R} (p, q)^T, \\ \begin{pmatrix} \tilde{r} & \tilde{s} \\ \tilde{s} & \tilde{t} \end{pmatrix} &= \mathbf{R} \begin{pmatrix} r & s \\ s & t \end{pmatrix} \mathbf{R}^T.\end{aligned}$$

Valores de  $I$  não dependem do sistema de coordenadas no plano cartesiano.

# Classificação dos modelos de segunda ordem admissíveis

## Theorem

Seja  $f \mapsto Bf$  um operador definido por

$$Bf(\mathbf{x}) = I(\mathbf{x}, f, p, q, r, s, t).$$

1. Se  $I : \mathbb{R}^8 \rightarrow \mathbb{C}$  é um invariante diferencial de  $SO(2)$  então

$$Bf(\mathbf{x}) = F(\mathbf{x}^2, f, \mathbf{x}\nabla f, (\nabla f)^2, \Delta f, H, S, T);$$

2. Se, além disso,  $B$  é end-stopped e  $F$  é de classe  $C^1$ , existem invariantes  $A_j$  de  $SO(2)$  tais que

$$Bf = A_1 S + A_2 T + A_3 H;$$

3. Se  $I$  é um polinômio então  $F, A_1, A_2, A_3$  são polinômios.



## Álgebra Geométrica do Plano

A álgebra é gerada por  $\{1, \mathbf{e}_1, \mathbf{e}_2, j\}$  com relações

$$\mathbf{e}_1^2 = \mathbf{e}_2^2 = 1$$

$$\mathbf{e}_1 \mathbf{e}_2 = -\mathbf{e}_2 \mathbf{e}_1 = j$$

Os **vetores** do plano correspondem aos elementos  $x\mathbf{e}_1 + y\mathbf{e}_2$

Os **números complexos** correspondem aos elementos  $x + yj$

Para  $\mathbf{x}$  e  $\mathbf{y}$  vetores:

Produto escalar :  $2 \langle \mathbf{x}, \mathbf{y} \rangle = \mathbf{xy} + \mathbf{yx}$

Produto exterior:  $2 \mathbf{x} \wedge \mathbf{y} = \mathbf{xy} - \mathbf{yx}$

Produto geométrico:  $\mathbf{xy} = \langle \mathbf{x}, \mathbf{y} \rangle + \mathbf{x} \wedge \mathbf{y}$

Em coordenadas:

$$\mathbf{x} \nabla f = x \frac{\partial f}{\partial x} + y \frac{\partial f}{\partial y} + (x \frac{\partial f}{\partial y} - y \frac{\partial f}{\partial x}) j$$

$$Bf = A_1 S + A_2 T + A_3 H;$$

Que operador escolher?

- ▶ Simplicidade:  $H, S, T$ ?
- ▶ Homogenia:  $B(\lambda f) = \lambda^k Bf$  ?
- ▶ Exatidão:  $Bf|_{\Omega} = 0 \implies f|_{\Omega}$  é  $1D$ ?
  
- ▶  $H, S, T$  não são exatos;
- ▶  $\Gamma := S + T$  j é exato e homogêneo.

## Quanto de $f$ é codificado em $\Gamma = S + T j$ ?

Seja  $f(t) = f(\gamma(t))$  e  $\eta(t) := \nabla f(\gamma(t))$  então

$$\begin{cases} f' = \langle \nabla f, \gamma' \rangle = \langle \eta, \gamma' \rangle \\ \eta' = H\gamma'. \end{cases}$$

$$\text{e } \eta\eta' = \langle H\eta, \dot{\gamma} \rangle + \langle HJ\eta, \dot{\gamma} \rangle j.$$

da ortogonalidade de  $\eta$  e  $J\eta$

$$H\eta = \frac{U}{\eta^2} \eta + \frac{S}{\eta^2} J\eta, \quad HJ\eta = \frac{S}{\eta^2} \eta + \frac{T}{\eta^2} J\eta.$$

Daí

$$\eta^3 \eta' = \langle \eta, \gamma' \rangle (U + S j) + \langle J\eta, \gamma' \rangle (S + T j).$$

$$U = \langle H\nabla f, \nabla f \rangle$$

## As curvas $\gamma$ são os zero-crossings do laplaciano da imagem

“Uma imagem fica determinada pelo conjunto de zero-crossings de seu laplaciano mais suas inclinações ao longo desse conjunto.” (D. Marr)

Simbolicamente:

$Z(f) = \text{Zeros-crossings de } f = \{\mathbf{x} \mid f(\mathbf{x}) = 0 \text{ e } \nabla f(\mathbf{x}) \neq 0\}$  :

$$\begin{cases} Z(\Delta f) = Z(\Delta g) =: Z \\ \nabla f|_Z = \nabla g|_Z \text{ (orig. incl. } \Delta f) \end{cases} \implies f = g.$$

### Proposição

Seja  $f : E \rightarrow \mathbb{R}$  uma imagem e  $\gamma : I \rightarrow E$  um zero-crossing de  $\Delta u$  com  $\gamma(0) = \gamma_0$ . Se  $f$  não tem pontos críticos sobre o traço de  $\gamma$  então  $t \mapsto \eta(t) := \nabla f(\gamma(t))$  é a única solução de

$$\begin{cases} \eta^3 \eta' = \Gamma \gamma' \eta_j \\ \eta_0 = \nabla f(\gamma_0). \end{cases}$$

## As curvas $\gamma$ são as arestas da imagem

$E(f)$  = arestas Haralick de  $f$  :

$$\begin{cases} E(f) = E(g) =: E \\ \nabla f|_E = \nabla g|_E \end{cases} \implies f = g, \text{ perceptualmente (S. Mallat).}$$

### Proposição

Seja  $f : E \rightarrow \mathbb{R}$  uma imagem,  $\gamma : I \rightarrow E$  uma aresta de  $f$  com  $\gamma(0) = \gamma_0$ .  
Então  $t \mapsto \eta(t) := \nabla u(\gamma(t))$  é a única solução de

$$\begin{cases} \eta^3 \eta' = S \gamma' \eta j + T \eta \wedge \gamma' \\ \eta_0 = \nabla u(\gamma_0). \end{cases}$$

## A Equação diferencial $\Gamma_u = \sigma + \tau j$ em coordenadas

$$\begin{aligned} \frac{\partial u}{\partial x} \frac{\partial u}{\partial y} \left( \frac{\partial^2 u}{\partial y^2} - \frac{\partial^2 u}{\partial x^2} \right) + \frac{\partial^2 u}{\partial x \partial y} \left( \frac{\partial u^2}{\partial x} - \frac{\partial u^2}{\partial y} \right) &= \sigma \\ \frac{\partial u^2}{\partial y} \frac{\partial^2 u}{\partial x^2} - 2 \frac{\partial u}{\partial x} \frac{\partial u}{\partial y} \frac{\partial^2 u}{\partial x \partial y} + \frac{\partial u^2}{\partial x} \frac{\partial^2 u}{\partial y^2} &= \tau \end{aligned} \quad (1)$$

Sistema superdeterminado de PDE  $\implies$  existência de equações de compatibilidade

### Proposição

Há exatamente cinco equações de compatibilidade,  $F = G = L = M = N = 0$ , e elas *dependem somente de  $x, y, \partial u/\partial x, \partial u/\partial y$* .

## Theorem

Seja  $\sigma + \tau j$  uma função suave. Suponha que em  $(\mathbf{x}_0, \eta_0)$ ,

$$F = G = 0, \quad pF_p + qF_q \neq 0, \quad \frac{\partial(F, G)}{\partial(p, q)} \neq 0.$$

E seja  $\mathbf{x} \mapsto \eta(\mathbf{x})$  definida implicitamente por  $F(\mathbf{x}, \eta) = G(\mathbf{x}, \eta) = 0$ ,  $\eta_0 = \eta(\mathbf{x}_0)$ . Suponha que as identidades  $L = M = N = 0$  valem ao longo do gráfico de  $\eta$ . Então

$$\begin{cases} \Gamma u = \sigma + \tau j \\ u(\mathbf{x}_0) = u_0 \\ \nabla u(\mathbf{x}_0) = \eta_0 \end{cases} \quad (2)$$

possui uma única solução em alguma vizinhança de  $\mathbf{x}_0$ ; a solução é suave e satisfaz

$$\begin{cases} \nabla u = \eta \\ u(\mathbf{x}_0) = u_0. \end{cases} \quad (3)$$

# Unicidade da representação por $\Gamma$

## Theorem

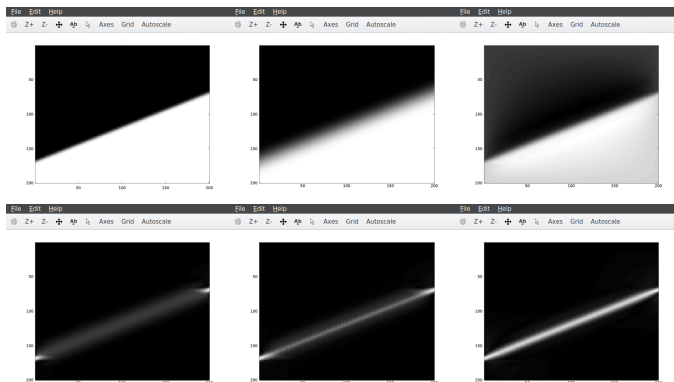
Sejam  $f$  e  $g$  imagens definidas em um conjunto aberto e conexo  $\Omega$ , com  $\Gamma_f = \Gamma_g$  e  $F, G$  como anteriormente. Se  $\partial(F, G)/\partial(p, q)$  não se anula no gráfico  $\mathcal{G} = \{(\mathbf{x}, \nabla u(\mathbf{x})); \mathbf{x} \in \Omega\}$ , então  $u(\mathbf{x}_0) = v(\mathbf{x}_0)$  e  $\nabla u(\mathbf{x}_0) = \nabla v(\mathbf{x}_0)$  para algum  $\mathbf{x}_0$  em  $\Omega$  implica  $f = g$ .

## Example

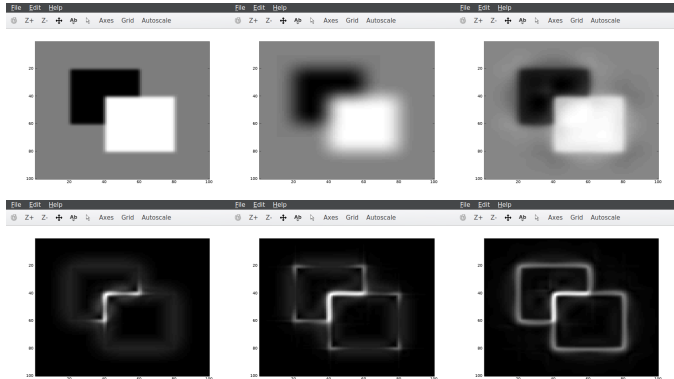
As únicas funções com  $T = -6x^4y$  and  $S = 4x^3y^2 - 2x^5$  são  $u(x, y) = x^2y + k$ , em que  $k$  é uma constante.



# Simulação



# Simulação



## Equações da simulação

Minimize um funcional de Lagrange para  $\eta = (p, q)$ :

$$\mathcal{L}(p, q) = \frac{1}{2} \sum_{j=1}^3 \beta_j \int (R^j)^2 d\Omega$$

$$R^1 = \langle Q\xi, \xi \rangle - \tau \quad R^2 = \langle Q\xi, \eta \rangle - \sigma \quad R^3 = \text{rot } \eta \quad Q = \begin{pmatrix} p_x & p_y \\ q_x & q_y \end{pmatrix}$$

$$a_{11}^p p_{xx} + a_{22}^p p_{yy} = a_{12}^p p_{xy} + \gamma q_{xy} + \beta \mathcal{P}(\eta, Q)$$

$$a_{11}^q q_{xx} + a_{22}^q q_{yy} = a_{12}^q q_{xy} + \gamma p_{xy} - \beta \mathcal{Q}(\eta, Q)$$

Ganho: Sistema quasilinear fortemente elíptico.

Perda: Não tem solução única.

Obrigado ao Luiz Velho!

Obrigado a todos!